

COMPORTAMENTO DOS DEFEITOS PUNTUAIS NO RECOZIMENTO DA LIGA TEMPERADA Al-Mg (0,75% at Mg)

Waldir Garlipp *
Mário Cilense **
Carlos Roberto Sobreira Beatrice **

GARLIPP, W.; CILENSE, M. & BEATRICE, C.R.S. — Comportamento dos defeitos puntuais no recocimento da liga temperada Al-Mg (0,75% at Mg). Ecl. Quím., São Paulo, 5:29-37, 1980.

RESUMO: O comportamento dos defeitos puntuais na liga temperada de 25 a

80°C.

No intervalo de 80 a 60% do número inicial de vacâncias, a energia de ativação de movimento medida, foi igual a das divacâncias no Al puro (99,999%).

UNITERMOS: Defeitos puntuais, recuperação de, solução sólida de Al-Mg.

que os átomos soluto interagem com os defeitos puntuais, retardando a transformação pelo reconhecimento, se comparada com aquela dos metais solventes puros. Medidas da energia de ativação de ligação entre os defeitos puntuais, e os átomos soluto, provocados pela temperatura de 80°C, ou danos por radiação, tem sido obtidas na ordem de grandeza de décimos de eV (eletron-Volt).

Particularmente para as ligas diluídas de Al constatou-se que para átomos soluto de Zn, Si, Cu, In e Mg as energias de ligação são em média baixas.

FLYNN e outros (12) mostrou a importância de vários fatores no sucessão.

1. INTRODUÇÃO

A temperatura do Al puro (99,995 a 99,999%) a partir das temperaturas de 360°C a 600°C em meios diferentes tem mostrado um comportamento muito diverso com relação à energia de ativação de movimento dos defeitos puntuais (2, 3, 6, 10, 14, 15, 18, 19, 20, 21 e 22).

Outros metais principalmente o Au puro (1, 4, 7) mostraram uma variedade de valores para estas energias de ativação conforme a velocidade de esfriamento da amostra.

As ligas diluídas de Al, Au, Ag, Pt (13) e outras revelaram de modo geral

* Departamento de Materiais — Escola de Engenharia de São Carlos — USP.

** Departamento de Físico-Química — Instituto de Química — UNESP — "Campus" de Araraquara.

so de se conseguir aprisionar a totalidade das vacâncias existentes na temperatura da têmpera. O estriamento do metal em estudo depende da consideração do produto $D_Q \cdot T_Q \cdot \tau_Q$ onde D_Q — coeficiente de difusão da vacância na temperatura T_Q , T_Q — temperatura de têmpera, τ_Q — tempo de estriamento do corpo de prova entre os dois meios utilizados.

O valor acima determina a concentração de vacâncias aprisionadas.

O Al puro (99,999%) e suas ligas diluídas tem sido dos mais estudados quanto ao comportamento dos defeitos puntuais.

Valores reconhecidos como dos mais corretos para as energias de ativação de formação e de movimento dos defeitos são abaixo citados (21):

$$E_F^V = 0,75 \pm 0,07 \text{ eV}$$

$$E_M^V = 0,58 \pm 0,05 \text{ eV}; \\ 0,60 \pm 0,05 \text{ eV}; 0,62 \pm 0,03 \text{ eV}$$

$$E_M^{2V} = 0,50 \pm 0,04 \text{ eV}; \\ 0,42 \pm 0,04 \text{ eV}$$

Tratando-se de ligas diluídas de Al-Mg e mesmo até 11% at Mg têm se observado certa discrepância nos valores da energia de ligação B entre as vacâncias e átomos de Mg.

Existe ainda grande dificuldade no conhecimento do valor de B.

A energia de ligação para a liga com 0,75% at Mg é igual ou próxima de 0,20 eV (22).

Para uma concentração 100 vezes menor o trabalho de KINO e outros (15) mostra que B é maior que zero.

BEAMAN e BALLUFFI (5) verificaram que para ligas de Al com 0,56 e 1,11% at Mg nas proximidades da temperatura de fusão o B é muito pequeno (0,01 eV) não favorecendo o aumento da concentração de vacâncias com relação ao Al puro.

Não existem ainda condições de afirmar qual a relação entre a porcentagem atómica de Mg e a energia de ligação e nesmo qual a concentração máxima crítica além da qual a energia de ligação cai novamente.

Por exemplo para a composição de 11,2% at Mg (elevada no caso) o valor de B cai a 0,18 eV, conforme mostrou K. DERTET e L. THOMAS (9).

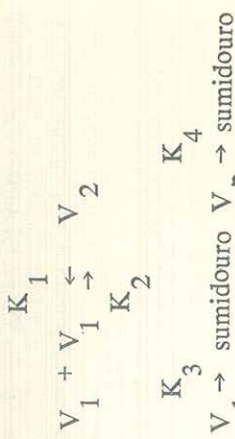
A tendência para a formação dos agrupamentos (CLUSTERS) de átomos de Mg provavelmente diminui a densidade de posições substitucionais com tensão elástica de compressão, que existe por causa da diferença dos raios atómicos entre Al e o Mg.

DOYAMA (11) estudando as equações cinéticas relativas à formação das ligações entre os defeitos de vacância ou divacância com as impurezas no tratamento de tempera conclui que para a concentração C_t destas, muito menor que a concentração C_l de todos os defeitos, o tratamento teórico se reduz ao tratamento do metal solvente puro.

Para $C_t > C_l$, deve ser considerada uma temperatura crítica T^* acima da qual o equilíbrio entre os defeitos é mantido porque a velocidade de reação entre eles é suficientemente grande.

Abaixo de T^* a velocidade de reação não é suficiente para manter o equilíbrio entre os defeitos.

Reações simples como:



A concentração das vacâncias, divacâncias, complexos vacância-átomo Mg ou divacância-átomo Mg, deixando de considerar os agrupamentos de vacâncias que se formam pela precipitação de um grupo das mesmas sob a forma de anéis de deslocação e vazios (dislocation loops e voids), dependem portanto do produto $D_Q \cdot T_Q \cdot \tau_Q$, da concentração C_l , do cuidado no manuseio dos corpos de prova (que pode acarretar o aumento da concentração de deslocações). A concentração por unidade de volume dos sumidouros (sinkis) depende da densidade de deslocações dos contornos de grãos e da própria superfície do corpo de prova.

Trabalhos de LIFSHITZ & SLYOZOV (17) WAGNER (23) e KIRCHNER (16) foram úteis para se estudar a difusão de vacâncias entre os anéis de deslocações existentes após a tempe-
ração.

Estes são fontes e sumidouros de vacâncias conforme o seu raio geométrico médio. A influência que eles causam nas medidas da concentração total das vacâncias é constante e menor, principalmente nas ligas de Al em temperaturas até 80°C. Temperaturas maiores favorecem o desaparecimento dos anéis pelo processo de "climb" e a liberação de defeitos pontuais.

B — energia de ligação vacânci-
a — impureza.

A figura 1 relaciona o logaritmo dos sinalados de I a V se relacionam com intervalos de temperatura. No trecho I

Necessário se torna considerar a velocidade de esfriamento como fator de influência, assim como a energia de ligação vacância-átomo soluto sobre T^* .

A concentração das vacâncias, divacâncias, complexos vacância-átomo Mg ou divacância-átomo Mg, deixando de considerar os agrupamentos de vacâncias que se formam pela precipitação de um grupo das mesmas sob a forma de anéis de deslocação e vazios (dislocation loops e voids), dependem portanto do produto $D_Q \cdot T_Q \cdot \tau_Q$, da concentração C_l , do cuidado no manuseio dos corpos de prova (que pode acarretar o aumento da concentração de deslocações). A concentração por unidade de volume dos sumidouros (sinkis) depende da densidade de deslocações dos contornos de grãos e da própria superfície do corpo de prova.

Das equações diferenciais originadas destas reações considerando casos particulares resultam as expressões:

$$\begin{aligned} K_1 &= 84 \nu \exp (-E_M^V / kT) \\ K_2 &= 14\nu \exp (-E_M^V + B) / kT \\ K_3 &= \alpha \gamma \lambda^2 \exp (-E_M^V / kT) \\ K_4 &= \alpha \gamma \lambda^2 \exp (-E_M^V / kT) \end{aligned}$$

onde: ν — frequência da rede cristalina;
 λ — menor distância de salto da vacância na rede cristalina
 cfc .

\propto — densidade de sumidouros
 E_M^V — energia de ativação de movimento das vacâncias
 $2V$ — energia de ativação de movimento das divacâncias.

B — energia de ligação vacânci-
a — impureza.

Modelos considerando à cinética de transformação e modificação das concentrações dos defeitos em função do tempo tem sido propostos. As impurezas são também introduzidas nas reações de transformação (8).

por exemplo (baixa temperatura) predomina K_4 sendo $K_1 = K_2 = K_3 = 0$. As divacâncias são preponderantes neste caso em seus efeitos.

$$\ln \tau = \text{Const} - \frac{1}{E_M} \cdot \frac{1}{k} \cdot \frac{1}{T}$$

No caso de K_4 resulta $\frac{1}{K_4} = \tau$

$$\frac{1}{e^{\frac{1}{V_1}}} = \frac{1}{e^{\frac{1}{V_0}}}$$

tempo de relaxação igual a $\frac{1}{e}$.

$\ln \tau = \text{Const} - \frac{1}{E_M} \cdot \frac{1}{k} \cdot \frac{1}{T}$

e assim E_M pode ser determinado.

No trecho II na posição das temperaturas mais baixas $K_1 < K_4, K_2$ e K_3

$$\ln(K_1 + \frac{K_3}{V_1}) = K_3 t + \ln(K_1 + \frac{K_3}{V_0})$$

Com certas limitações pode-se chegar a uma expressão mista linear e quadrática. A influência das impurezas nas reações é imaginada por meio das seguintes relações:

$$\begin{array}{ccc} \xrightarrow{K_1} & K_3 & \\ V_1 + I \leftrightarrow C & ; & V_1 \rightarrow \text{sumidouro} \\ \xrightarrow{K_2} & & \end{array}$$

onde V_0 é a concentração das vacâncias e C a fração atômica dos complexos formados.

Se K_1 é próximo de zero

$$N = V_0 e^{-K_1 t}$$

Desde que o tempo de relaxação τ é igual a $\frac{1}{e}$ pode-se obter

A mesma relação o número total de vacâncias livres e do complexo (intrínsecas e extrínsecas) N com o tempo t .

$$N = C + V_1 = V_0 \left\{ 1 + \left(\frac{I_0}{K_2} - \frac{K_1}{K_2} \right) e^{-K_1 t} \right\}$$

onde V_0 é a concentração das vacâncias livres no início da experiência.

$$N = V_0 e^{-K_1 t}$$

Assim foi por onde GERMAGNOLI (7) obteve dados sobre B na liga diluída Au-Ag, conhecendo E_M no Au puro. As

As temperaturas de recocimento isotérmico foram: 25,3°C; 40,5°C; 58,4°C; 77,8°C.

A técnica de medida da resistividade elétrica foi a mesma de BAUERLE & KOEHLER (4) que utiliza um corpo de prova para referência das medidas do corpo de prova em estudo, ambos retirados da mesma amostra.

são desprezíveis. Resulta uma expressão do tipo quadrático relacionando V_1 e o tempo t .

$$\ln(V_1 \cdot \tau) = \text{Const} - \frac{1}{E_M} \cdot \frac{1}{k} \cdot \frac{1}{T}$$

Ela permite obter E_M para V_1^0 concentração inicial das vacâncias, tempo $\tau = \frac{1}{e}$ para várias temperaturas.

$$\frac{1}{e^{\frac{1}{V_1}}} = \frac{1}{e^{\frac{1}{V_0}}}$$

Para as temperaturas superiores do trecho II e inicio do trecho III a interpretação é mais complexa porque existe uma contribuição mista das vacâncias e divacâncias.

Uma expressão com aplicação limitada é:

$$\ln(K_1 + \frac{K_3}{V_1}) = K_3 t + \ln(K_1 + \frac{K_3}{V_0})$$

Uma constante efetiva K_E é obtida onde

$$K_E = \frac{K_3}{1 + \left(\frac{I_0}{K_2} - \frac{K_1}{K_2} \right)}$$

Todos foram recocidos cuidadosamente durante 24 horas a 580°C no vácuo e esfriados lentamente no forno. Foram limpos, novamente recocidos durante 12 horas a 580°C, em atmosfera de argônio, em seguida temperados em água gelada salgada a -2°C e transferidos para um banho isotérmico de óleo parafínico de alta pureza e elevada resistência elétrica.

A estabilidade térmica do banho permaneceu em torno de ± 0,1°C.

$$\ln \tau = \text{const} + \frac{1}{E_M + B} - \frac{1}{kT}$$

As temperaturas de recocimento isotérmico foram: 25,3°C; 40,5°C; 58,4°C; 77,8°C.

A técnica de medida da resistividade elétrica foi a mesma de BAUERLE & KOEHLER (4) que utiliza um corpo de prova para referência das medidas do corpo de prova em estudo, ambos retirados da mesma amostra.

As curvas devem ser exponenciais para um bom resultado.

Infelizmente a falta de conhecimentos precisos dos valores de E_M , E_M^0 e o baixo valor de B muitas vezes dão dúvidas de interpretação, mesmo sendo as curvas exponenciais.

2. MATERIAL E MÉTODO

Corpos de prova em forma de lâminas com: comprimento médio = 70,33 mm; largura = (4,12 ± 0,05 mm) e espessura = 0,444 ± 0,006 mm, foram obtidas da liga Al-Mg (0,75% at Mg).

Sua análise revelou:

$$\frac{Mg}{Mg} = 0,75\% \text{ at; Impurezas: Si} = 2,10^{-2} \text{ a } 5,10^{-2}\% \text{ at; Fe} = 6,10^{-3}\% \text{ at e Mn} = 6,10^{-3}\% \text{ at.}$$

O método de secção das curvas para valores constantes da ordenada foi utilizado traçando linhas paralelas à abscissa. Muitos valores foram obtidos para os tempos combinando as curvas duas a duas, entre as transformações de 0,6 a 0,8 do valor inicial da resistividade.

Utilizando-se a expressão:

$$\ln \frac{t_1}{t_2} = \frac{E_M}{k} \left(\frac{1}{T_1} - \frac{1}{T_2} \right)$$

obtém-se

$$E_M = (0,476 \pm 0,008) \text{ eV}$$

que está em perfeito acordo com o valor apresentado pelas divacâncias no Al puro (21) supondo que a influência de concentração da impureza Mg existente não afeta a energia de ativação de movimento de defeitos.

Portanto $E_M^0 = 0,476 \pm 0,008 \text{ eV}$

determinamos

$$E_M = (0,476 \pm 0,008) \text{ eV}$$

que está em perfeito acordo com o valor apresentado pelas divacâncias no Al puro (21) supondo que a influência de concentração da impureza Mg existente não afeta a energia de ativação de movimento de defeitos.

Eliminamos assim a influência de pequenas oscilações térmicas, da corrente elétrica que é a mesma para os dois casos e outros fatores inerentes a liga.

Utilizamos um potenciómetro Microstep da Cambridge Instruments e todo um conjunto auxiliar de fonte de energia, estabilizadores de corrente elétrica e temperatura.

Utilizamos um potenciómetro Microstep da Cambridge Instruments e todo um conjunto auxiliar de fonte de energia, estabilizadores de corrente elétrica e temperatura.

A resistividade elétrica foi medida com a tolerância de 2,10-10 Ω cm.

3. ANÁLISE EXPERIMENTAL

A resistividade elétrica em condições isotérmicas foi medida em função do tempo (minutos) geralmente até 1500 minutos quando se estabilizou o processo de transformação.

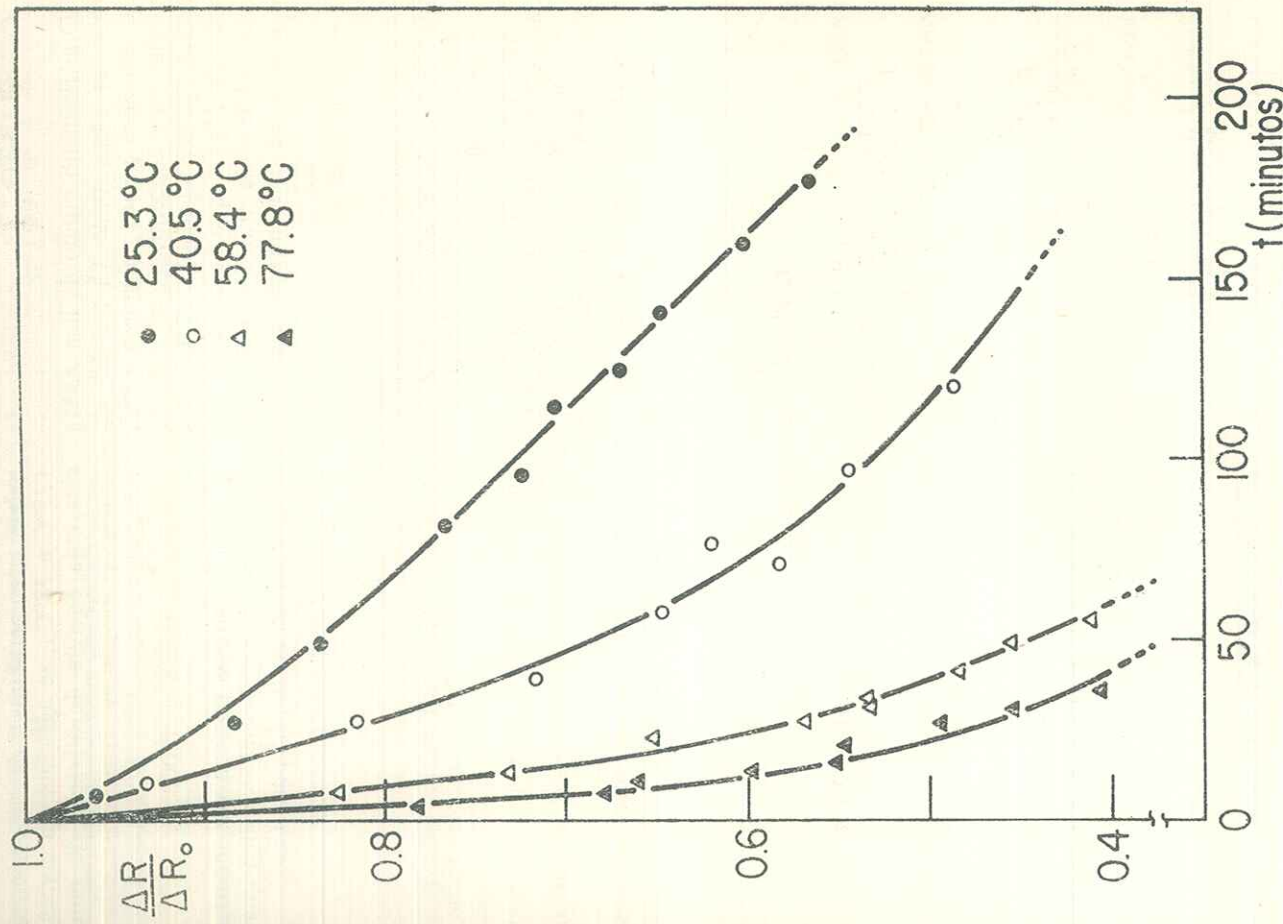
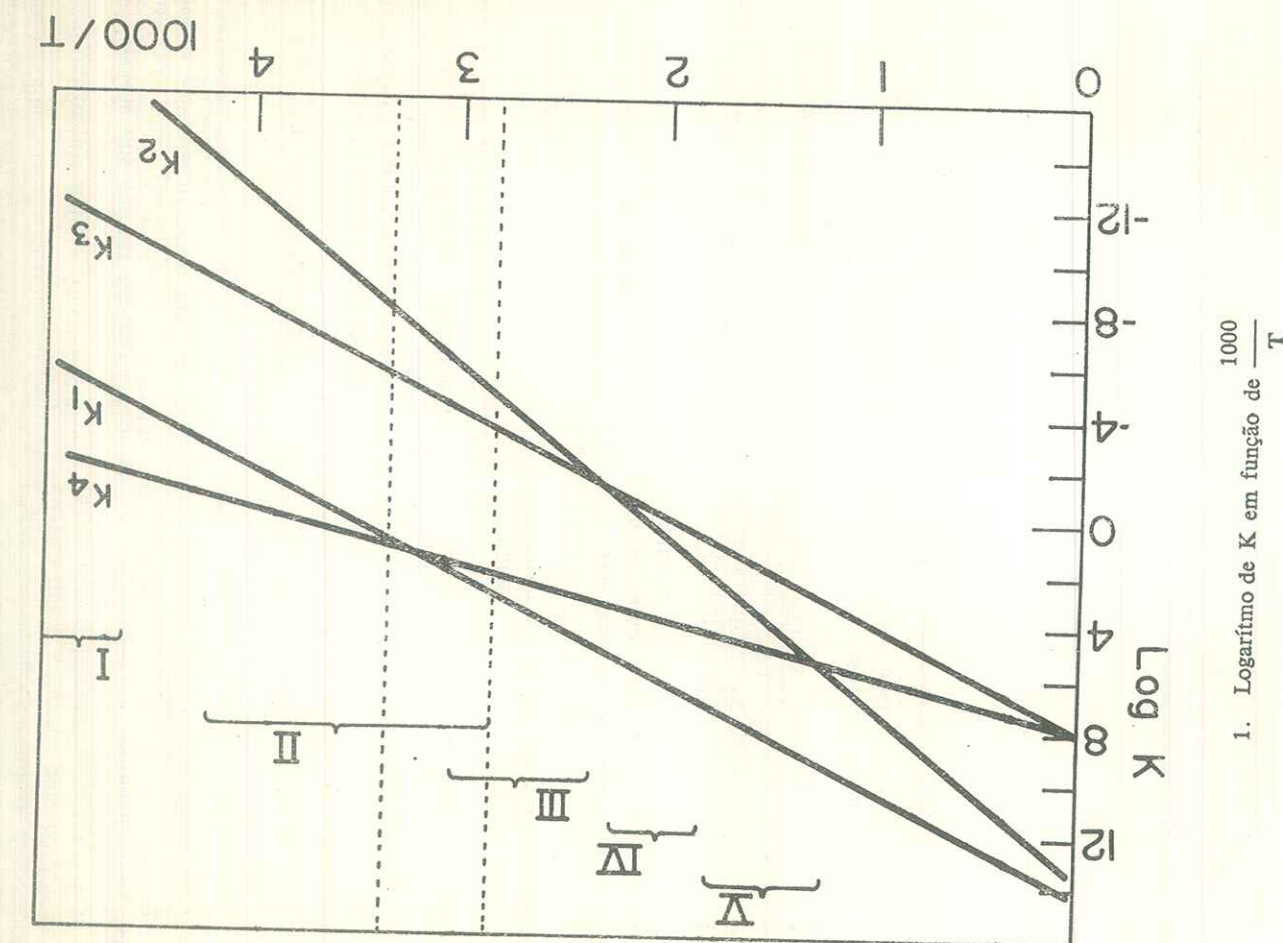
As medidas de resistividade foram normalizadas e usadas para construir a Figura 2.

O método de secção das curvas para valores constantes da ordenada foi utilizado traçando linhas paralelas à abscissa. Muitos valores foram obtidos para os tempos combinando as curvas duas a duas, entre as transformações de 0,6 a 0,8 do valor inicial da resistividade.

A estabilidade térmica do banho permaneceu em torno de ± 0,1°C.

As temperaturas de recocimento isotérmico foram: 25,3°C; 40,5°C; 58,4°C; 77,8°C.

A técnica de medida da resistividade elétrica foi a mesma de BAUERLE & KOEHLER (4) que utiliza um corpo de prova para referência das medidas do corpo de prova em estudo, ambos retirados da mesma amostra.



4. CONCLUSÃO

O esfriamento rápido da liga Al-Mg (0,75% at Mg), onde $C_1 > Cr$, de 580°C em água gelada salgada a -2°C, deve criar uma concentração elevada de vacâncias, pouco ligadas às impurezas (átomos de Mg) e que pelo menos nos estágios iniciais de transformação (de 80% a 60% de concentração inicial) e

baixas temperaturas de recocimento (25°C a 78°C), se agrupam em divacâncias cuja energia de ativação de movimento em direção aos sumidouros vale $E_M = 0,476 \pm 0,008$ eV

As impurezas por sua vez retardam o processo de recuperação da liga quando comparada ao do Al puro (20%).

O estriamento rápido da liga Al-Mg (0,75% at Mg), onde $C_1 > Cr$, de 580°C em água gelada salgada a -2°C, deve criar uma concentração elevada de vacâncias, pouco ligadas às impurezas (átomos de Mg) e que pelo menos nos estágios iniciais de transformação (de 80% a 60% de concentração inicial) e

baixas temperaturas de recocimento (25°C a 78°C), se agrupam em divacâncias cuja energia de ativação de movimento em direção aos sumidouros vale $E_M = 0,476 \pm 0,008$ eV

As impurezas por sua vez retardam o processo de recuperação da liga quando comparada ao do Al puro (20%).

GARLIPP, W.; CILENSE, M. & BEATRICE, C. R. S. — The point defects behaviour during annealing of the quenched Al-Mg (0,75% at Mg). Ecl. Quím., São Paulo, 5:29-37, 1980.

ABSTRACT: The paper shows the point defects behaviour of the quenched Al-Mg (0,75% at Mg) alloy annealed between 25 and 80°C. At the 80% — 60% of initial number of vacancies the movement activation energy is such as the divacancies in pure Al (99,999%).

UNITERMS: Point defects, recovery of aluminium-magnesium solid solution.

16. KIRCHNER, H. O. K. — *Acta Metal.*, 1973, 21, 85.
17. LIFSHITZ, I. M. & SLYOZOV, V. V. — *J. Phys. Chem. Sol.*, 1961, 19, 35.
18. PANSERI, C. & FEDERIGHI, T. — *Phil. Mag.*, 1958, 3, 1223.
19. PANSERI, C.; GATTO, F. & FEDERIGHI, T. — *Acta Metal.*, 1957, 5, 50.
20. PANSERI, C.; GATTO, F. & FEDERIGHI, T. — *Acta Metal.*, 1958, 6, 198.

Recebido em 14-05-80

REFERÊNCIAS BIBLIOGRÁFICAS

1. AIROLDI, G., BACCELLA, G. L. & GERMAGNOLI, E. — *Phys. Rev. Letters*, 1959, 2, 145.
2. ANTHONY, T. R. — *Phys. Rev.*, 1970, 2, 264.
3. ANTHONY, T. R. — *J. Appl. Phys.*, 1970, 41, 3969.
4. BAUERLE, J. E. & KOEHLER, J. S. — *Phys. Rev.*, 1957, 107, 1493.
5. BEAMAN, D. R. & BALLUFFI, R. W. — *Phys. Rev.*, 1965, 137, A917.
6. BURKE, J. & RAMACHANDRANT, R. — *Phil. Mag.*, 1971, 24, 629.
7. CATTANEO, F. & GERMAGNOLI, E. — *Phys. Rev.*, 1961, 124, 414.
8. DAMASK, A. C. & DIENNES, G. J. — *Point defects in metals*. Gordon & Breach, New York, 1965.
9. DETERT, K. & THOMAS, L. — *Acta Metal.*, 1964, 12, 431.
10. DESORBO, W. & TURNBULL, D. — *Acta Metal.*, 1959, 7, 83.
11. DOYAMA, M. — *Phys. Rev.*, 1966, 148, 681.
12. FLYNN, C. P.; BASS, J. & LAZARUS, D. — *Phil. Mag.*, 1965, 11, 521.
13. HASIGUTI, R. R. — *Lattice defects and their interactions*. Gordon & Breach, London, 1967.
14. HOWARD, R. E. & LIDDIARD, A. B. — *Phil. Mag.*, 1965, 11, 1179.
15. KINO, T.; KABEMOTO, S. & YOSHIDA, S. — *J. Phys. Soc. Japan*, 1963, 18, 85.